

Starkniederschlagshöhen und -spenden gemäß KOSTRA-DWD-2010R

Auswertungszeitraum von 1951 - 2010, Januar - Dezember

Rasterfeld: 49058

Zeile: 49

Spalte: 58

Seite: 1/2

| Dauerstufe D | | Wiederkehrzeit T | | | | | | | | | | | | | | | | | |
|--------------|-----|------------------|------------|------|------------|------|------------|------|------------|------|------------|-------|------------|-------|------------|-------|------------|-------|------------|
| | | 1 a | | 2 a | | 3 a | | 5 a | | 10 a | | 20 a | | 30 a | | 50 a | | 100 a | |
| min | Std | mm | l / (s ha) | mm | l / (s ha) | mm | l / (s ha) | mm | l / (s ha) | mm | l / (s ha) | mm | l / (s ha) | mm | l / (s ha) | mm | l / (s ha) | mm | l / (s ha) |
| 5 | | 5,2 | 173,3 | 6,9 | 230,0 | 7,9 | 263,3 | 9,1 | 303,3 | 10,8 | 360,0 | 12,5 | 416,7 | 13,5 | 450,0 | 14,7 | 490,0 | 16,4 | 546,7 |
| 10 | | 8,3 | 138,3 | 10,6 | 176,7 | 12,0 | 200,0 | 13,7 | 228,3 | 16,0 | 266,7 | 18,3 | 305,0 | 19,7 | 328,3 | 21,4 | 356,7 | 23,8 | 396,7 |
| 15 | | 10,3 | 114,4 | 13,1 | 145,6 | 14,8 | 164,4 | 16,8 | 186,7 | 19,6 | 217,8 | 22,5 | 250,0 | 24,1 | 267,8 | 26,2 | 291,1 | 29,0 | 322,2 |
| 20 | | 11,8 | 98,3 | 15,0 | 125,0 | 16,9 | 140,8 | 19,2 | 160,0 | 22,4 | 186,7 | 25,7 | 214,2 | 27,5 | 229,2 | 29,9 | 249,2 | 33,1 | 275,8 |
| 30 | | 13,7 | 76,1 | 17,6 | 97,8 | 19,8 | 110,0 | 22,7 | 126,1 | 26,6 | 147,8 | 30,5 | 169,4 | 32,7 | 181,7 | 35,6 | 197,8 | 39,5 | 219,4 |
| 45 | | 15,4 | 57,0 | 20,1 | 74,4 | 22,8 | 84,4 | 26,2 | 97,0 | 30,9 | 114,4 | 35,6 | 131,9 | 38,3 | 141,9 | 41,8 | 154,8 | 46,5 | 172,2 |
| 60 | | 16,4 | 45,6 | 21,7 | 60,3 | 24,9 | 69,2 | 28,8 | 80,0 | 34,1 | 94,7 | 39,5 | 109,7 | 42,6 | 118,3 | 46,6 | 129,4 | 51,9 | 144,2 |
| 90 | | 17,9 | 33,1 | 23,8 | 44,1 | 27,3 | 50,6 | 31,6 | 58,5 | 37,5 | 69,4 | 43,4 | 80,4 | 46,9 | 86,9 | 51,2 | 94,8 | 57,1 | 105,7 |
| 120 | 2 | 19,1 | 26,5 | 25,4 | 35,3 | 29,1 | 40,4 | 33,8 | 46,9 | 40,1 | 55,7 | 46,5 | 64,6 | 50,2 | 69,7 | 54,8 | 76,1 | 61,1 | 84,9 |
| 180 | 3 | 20,9 | 19,4 | 27,9 | 25,8 | 32,0 | 29,6 | 37,1 | 34,4 | 44,1 | 40,8 | 51,1 | 47,3 | 55,2 | 51,1 | 60,3 | 55,8 | 67,3 | 62,3 |
| 240 | 4 | 22,3 | 15,5 | 29,8 | 20,7 | 34,1 | 23,7 | 39,7 | 27,6 | 47,2 | 32,8 | 54,6 | 37,9 | 59,0 | 41,0 | 64,6 | 44,9 | 72,0 | 50,0 |
| 360 | 6 | 24,4 | 11,3 | 32,6 | 15,1 | 37,5 | 17,4 | 43,6 | 20,2 | 51,8 | 24,0 | 60,1 | 27,8 | 64,9 | 30,0 | 71,0 | 32,9 | 79,3 | 36,7 |
| 540 | 9 | 26,7 | 8,2 | 35,8 | 11,0 | 41,1 | 12,7 | 47,8 | 14,8 | 57,0 | 17,6 | 66,1 | 20,4 | 71,4 | 22,0 | 78,2 | 24,1 | 87,3 | 26,9 |
| 720 | 12 | 28,4 | 6,6 | 38,2 | 8,8 | 43,9 | 10,2 | 51,1 | 11,8 | 60,9 | 14,1 | 70,7 | 16,4 | 76,4 | 17,7 | 83,6 | 19,4 | 93,4 | 21,6 |
| 1080 | 18 | 31,1 | 4,8 | 41,9 | 6,5 | 48,2 | 7,4 | 56,2 | 8,7 | 67,0 | 10,3 | 77,8 | 12,0 | 84,1 | 13,0 | 92,0 | 14,2 | 102,8 | 15,9 |
| 1440 | 24 | 33,1 | 3,8 | 44,7 | 5,2 | 51,5 | 6,0 | 60,0 | 6,9 | 71,6 | 8,3 | 83,2 | 9,6 | 90,0 | 10,4 | 98,5 | 11,4 | 110,1 | 12,7 |
| 2880 | 48 | 41,7 | 2,4 | 55,3 | 3,2 | 63,2 | 3,7 | 73,3 | 4,2 | 86,9 | 5,0 | 100,5 | 5,8 | 108,4 | 6,3 | 118,5 | 6,9 | 132,1 | 7,6 |
| 4320 | 72 | 47,7 | 1,8 | 62,5 | 2,4 | 71,1 | 2,7 | 82,0 | 3,2 | 96,8 | 3,7 | 111,6 | 4,3 | 120,2 | 4,6 | 131,1 | 5,1 | 145,9 | 5,6 |

Angaben in mm: Bemessungsniederschlagswerte h(n)

Angaben in l / (s ha): Regenspende R(n) mit $R(n) = h(n) \times 1,666667 / D[\text{min}]$

Toleranzbereiche:

+/- 10 % für $1 \text{ a} \leq T \leq 5 \text{ a}$

+/- 15 % für $5 \text{ a} < T \leq 50 \text{ a}$

+/- 20 % für $50 \text{ a} < T \leq 100 \text{ a}$

Datenbasis: KOSTRA-DWD-2010R des Deutschen Wetterdienstes. Die Regenspende wurde auf Basis des Bemessungsniederschlags zur jeweiligen Andauer berechnet.

Für die Richtigkeit und Aktualität der Angaben wird keine Gewähr übernommen. Erstellt 07/2022.

Starkniederschlagshöhen und -spenden gemäß KOSTRA-DWD-2010R

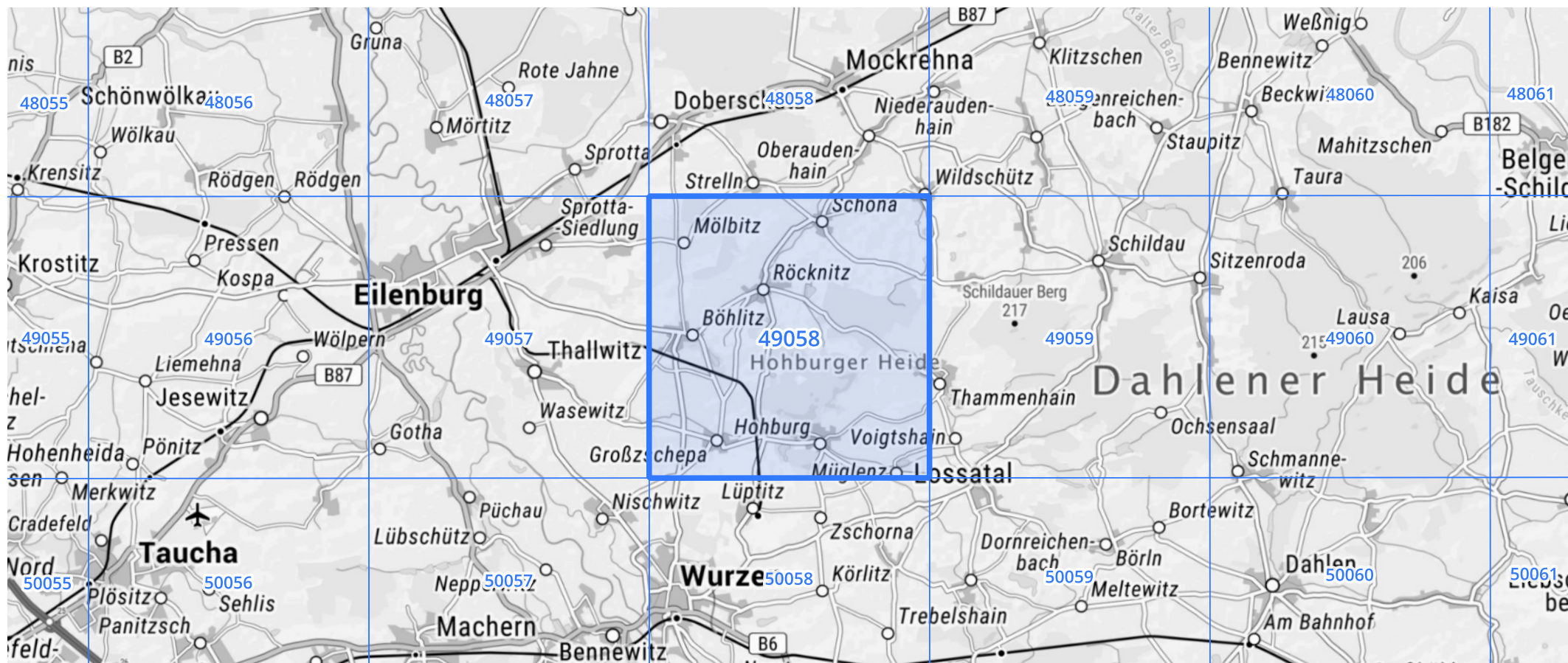
Auswertungszeitraum von 1951 - 2010, Januar - Dezember

Rasterfeld: 49058

Zeile: 49

Spalte: 58

Seite: 2/2



Quelle Rasterdaten: KOSTRA-DWD-2010R des Deutschen Wetterdienstes.

Kartendarstellung: © Bundesamt für Kartographie und Geodäsie (2022), Datenquellen: https://sgx.geodatenzentrum.de/web_public/gdz/datenquellen/Datenquellen_TopPlusOpen.html

Für die Richtigkeit und Aktualität der Angaben wird keine Gewähr übernommen. Erstellt 07/2022.